

Исследование вынужденных колебаний с возмущением инерционного типа

© В.В. Дубинин, В.В. Витушкин

МГТУ им. Н.Э. Баумана, Москва, 105005, Россия

Представлен метод моделирования колебаний различных механических систем с инерционным возмущением с использованием лабораторной установки. Приведено описание конструкции и работы этой установки, методики проведения исследований колебаний и построения расчетных и экспериментальных амплитудно-частотных (АЧХ) и фазочастотных (ФЧХ) характеристик. Показано, что в силу подобия дифференциальных уравнений движения различных реальных промышленных объектов и данной экспериментальной установки, возможно применение последней для моделирования процессов колебаний указанных объектов. Приведены параметры подобия, позволяющие осуществлять такое моделирование и получать АЧХ и ФЧХ различных промышленных устройств.

Ключевые слова: механические системы, инерционное возмущение, колебания систем, частотные характеристики, лабораторная установка, моделирование колебаний, параметры подобия.

В течение ряда лет на кафедре теоретической механики МГТУ им. Н.Э. Баумана успешно развивается направление создания автоматизированных лабораторных комплексов различного типа механических систем для научной работы и учебного процесса по основным разделам механики [1, 2].

На практике часто встречаются процессы, в которых возникают колебания систем с инерционным возмущением. В данной работе представлена физическая установка, на которой моделируется такой реальный физический процесс. Она входит в лабораторный исследовательский комплекс, который можно использовать также и в учебном процессе для исследований линейной модели вынужденных колебаний механической системы. Этот комплекс включает в себя собственно электромеханическую установку с блоком управления, аналого-цифровой преобразователь (АЦП), ПЭВМ и программно-методическое обеспечение.

Электромеханическая лабораторная установка (рис. 1, а) представляет собой механическую систему, состоящую из основания 1 с направляющими 2, в которых с возможностью продольного перемещения установлена каретка 3 с колесами 4. На каретке смонтирован механизм возбуждения ее колебаний, состоящий из электродвигателя 5, редуктора 6, маятника 12 и шарнирного механизма, включающего в себя закрепленный на выходном валу редуктора кривошип 7 с регулируемым эксцентриситетом и шток 8. Маятник шарнирно уста-

новлен на стойке 11, закрепленной на основании, и снабжен грузом 13 и рычагом 9, шарнирно соединенным со штоком 8. При этом груз можно закреплять на стержне маятника на различных расстояниях от его оси вращения. Маятник совершает вынужденные колебания в соответствии с законом, близким к синусоидальному. Эти колебания обеспечивают формирование возмущающего воздействия на каретку, которая соединена с основанием пружинами 15 и на которой установлены также дополнительные сменные грузы 14. Устройство снабжено потенциометрическим датчиком 10 угла поворота маятника, индуктивным датчиком 18 продольных перемещений каретки, блоком 16 электропитания электродвигателя и датчиков и ПЭВМ 17. При этом датчик 18 выполнен в виде катушки, установленной на основании 1, и ферромагнитного стержня 19, закрепленного на каретке. Сменные пружины 15 и грузы 14 позволяют изменять жесткостные и инерционные свойства системы, получать и исследовать различные амплитудно-частотные (АЧХ) и фазочастотные (ФЧХ) характеристики вынужденных колебаний каретки.

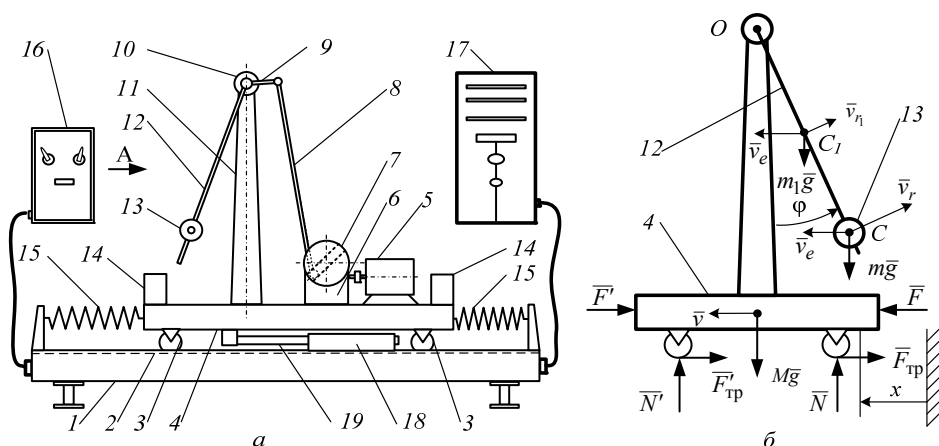


Рис. 1. Схемы электромеханической установки:

а — конструктивная; б — расчетная

Для вынужденных колебаний каретки, вызванных возмущением инерционного типа, при изменении частоты вынужденных колебаний строят теоретические кривые АЧХ и ФЧХ. Вычисление амплитуды и разности фаз осуществляют на основе анализа сигналов, снимаемых с датчиков угла отклонения маятника и линейного перемещения каретки, т. е. сигналов возмущения и вынужденных колебаний. Запись сигналов и их обработку, получение параметров вынужденных колебаний тележки проводят с помощью ПЭВМ. Программное обеспечение рассматриваемого комплекса реализовано как в оригинальном исполнении, так и в среде системы LabView 7.0.

Рассмотрим линеаризованную математическую модель движения каретки. На расчетной схеме установки (рис. 1, б) длина стержня 15 маятника равна l_1 , $OC = l$, масса каретки равна M , массу m груза 13 считаем сосредоточенной в точке C , масса стержня 12 равна m_1 . Колеса 3 совершают плоское движение, но в силу их малой массы будем учитывать ее в общей массе каретки M при прямолинейном поступательном движении последней. Система имеет две степени свободы, обобщенные координаты: x — линейное перемещение каретки и φ — угловое отклонение маятника. Изменение координаты φ задано, а уравнение $x = x(t)$ необходимо определить. Примем, что колеса катятся без скольжения, поэтому работа на перемещениях точек приложения сил \bar{N} , \bar{N}' , $\bar{F}_{\text{тр}}$, $\bar{F}'_{\text{тр}}$ равна нулю.

Для составления дифференциального уравнения движения каретки используем уравнение Лагранжа 2-го рода

$$\frac{d}{dt} \frac{\partial T}{\partial \dot{x}} - \frac{\partial T}{\partial x} = Q_x, \quad (1)$$

где $T = \frac{Mv^2}{2} + \frac{mv_C^2}{2} + \frac{J_{C1z}\dot{\varphi}^2}{2} + \frac{m_1v_{C1}^2}{2}$ — кинетическая энергия;

$$v = |\bar{v}| = \dot{x}, \quad \bar{v}_C = \bar{v}_r + \bar{v}_e, \quad \bar{v}_{C1} = \bar{v}_{e1} + \bar{v}_{r1}, \quad v_r = OC\dot{\varphi} = l\dot{\varphi}, \quad \bar{v}_e = \bar{v}_{e1} = \bar{v},$$

$$v_{r1\tau} = \frac{l_1}{2}\dot{\varphi}, \quad J_{C1z} = m_1 l^2 / 12,$$

$$v_C^2 = (\bar{v}_e + \bar{v}_r)^2 = \dot{x}^2 + l^2\dot{\varphi}^2 - 2\dot{x}l\dot{\varphi} \cos \varphi,$$

$$v_{C1}^2 = (\bar{v}_{e1} + \bar{v}_{r1})^2 = \dot{x}^2 + \frac{l_1^2}{4}\dot{\varphi}^2 - 2\dot{x}\frac{l_1}{2}\dot{\varphi} \cos \varphi$$

и окончательно —

$$T = \frac{(M + m + m_1)\dot{x}^2}{2} - \left(m + \frac{m_1}{2} \frac{l_1}{1}\right) \dot{x}l\dot{\varphi} \cos \varphi + \left(ml^2 + J_{C1z} + m_1 \frac{l_1^2}{4}\right) \frac{\dot{\varphi}^2}{2}.$$

Обобщенная сила

$$Q_x = \frac{[-c(x_0 + x) - c(x - x_0) - \mu\dot{x}]\delta x}{\delta x} = -2cx - \mu\dot{x},$$

где x_0 и c — начальная деформация и жесткость пружин; μ — коэффициент вязкого трения.

С учетом выражений для T и Q_x уравнение Лагранжа 2-го рода принимает вид

$$(M + m + m_1) \ddot{x} + \mu \dot{x} + 2cx = \left(m + \frac{m_1 l_1}{2} \right) l (\ddot{\varphi} \cos \varphi - \dot{\varphi}^2 \sin \varphi).$$

В правой части уравнения находится нелинейная обобщенная возмущающая сила (здесь слагаемое $\dot{\varphi}^2 \sin \varphi$ — величина третьего порядка малости). Угол φ задан принудительно: $\varphi = \varphi_0 \sin(\omega t + \delta)$, где φ_0 и ω — соответственно амплитуда и частота кинематического параметра возмущения φ . В силу предположения о том, что φ — малая величина, линейное дифференциальное уравнение движения системы можно записать как

$$(M + m + m_1) \ddot{x} + \mu \dot{x} + 2cx = \left(m + \frac{m_1 l_1}{2} \right) l \ddot{\varphi} = - \left(m + \frac{m_1 l_1}{2} \right) l \varphi_0 \omega^2 \sin(\omega t + \delta)$$

или

$$\ddot{x} + 2n\dot{x} + K^2 x = -h \sin(\omega t + \delta). \quad (2)$$

$$\text{Здесь } K = \sqrt{\frac{2c}{M + m + m_1}}, \quad 2n = \frac{\mu}{M + m + m_1}, \quad h = \frac{\left(m + \frac{m_1 l_1}{2} \right) l \varphi_0 \omega^2}{M + m + m_1}.$$

Интерес представляют вынужденные колебания каретки (системы). Найдем решение уравнения (2) в виде $x_B = a_B \sin(\omega t + \delta - \varepsilon)$, где амплитуда вынужденных колебаний определяется соотношением $-a_B \omega^2 + a_B K^2 = -h$ и, следовательно,

$$a_B = \frac{\left(m + \frac{m_1 l_1}{2} \right) l \varphi_0 \omega^2}{(M + m + m_1) \sqrt{(K^2 - \omega^2)^2 + 4n^2 \omega^2}},$$

$$\lambda = \frac{a_B}{l \varphi_0} = \frac{m + \frac{m_1 l_1}{2}}{M + m + m_1} \frac{Z^2}{\sqrt{(1 - Z^2)^2 + Z^2 / Q^2}},$$

$$\varepsilon = \operatorname{arctg} \left[\frac{Z}{Q(1-Z^2)} \right], \quad (3)$$

где $Z = \omega/K$ — коэффициент расстройки; λ — коэффициент динамичности; $Q = K/2n$ — добротность системы.

Для определения параметров n , K , Q регистрируем собственные затухающие колебания системы (рис. 2, а). Определяем круговую частоту затухающих колебаний $K_1 = 2\pi/T_1$, круговую частоту свободных (собственных) колебаний системы без учета сопротивления — $K = \sqrt{K_1^2 + n^2}$ (здесь T_1 — условный период затухающих колебаний системы), а также декремент и логарифмический декремент колебаний

$$D = q_i / q_{i+1} = e^{nT_1}, \text{ и } \ln D = \ln \frac{q_i}{q_{i+1}} = nT_1,$$

откуда находим $n = \ln D/T_1$ и $Q = K/2n$.

С использованием полученных таким образом данных строим по формулам (3) теоретические кривые $\lambda = \lambda(Z)$ и $\varepsilon = \varepsilon(Z)$.

Затем включаем электродвигатель и, постепенно увеличивая частоту возмущения маятника ω , регистрируем частоту вынужденных колебаний и соответствующее ей значение максимального отклонения каретки от положения равновесия (ω_i, x_{m_i}) (рис. 2, б).

На рис. 3 представлены теоретические АЧХ и ФЧХ вынужденных колебаний каретки, рассчитанные по формулам (3), а экспериментальные значения приведены в виде совокупности точек, образующих размытые линии.

Результаты экспериментов подтверждают допустимость применения линейной модели для анализа работы лабораторной установки.

Обобщим типовые схемы таких реальных механических объектов, в которых имеется инерционное возмущение (рис. 4).

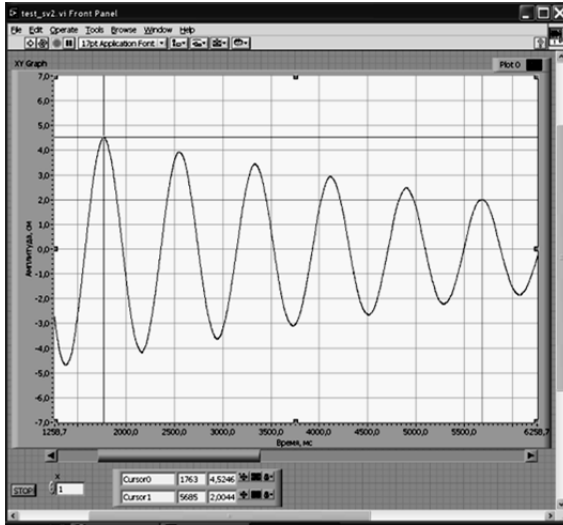
Применяя уравнение Лагранжа 2-го рода (1), для приведенных на рис. 4, а–г схем механических систем (диски — однородные, качение — без скольжения) и без учета сопротивления имеем, соответственно, следующие дифференциальные уравнения движения:

$$\ddot{x} + K^2 x = h \sin(\omega t + \delta), \quad h = s_0 \omega^2, \quad K^2 = \frac{c}{m};$$

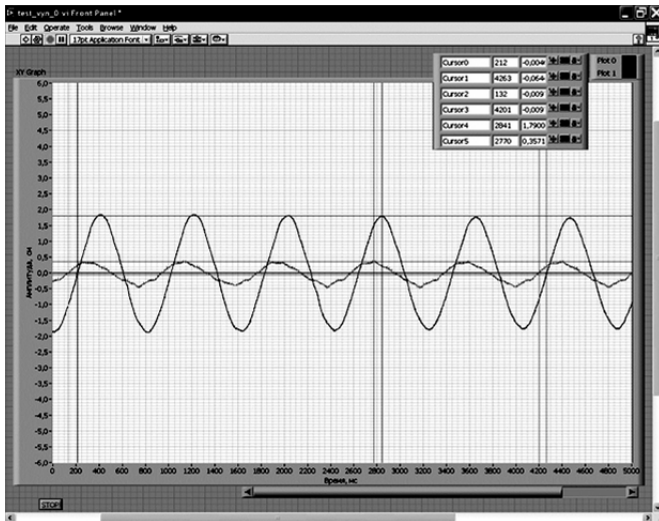
$$\ddot{x} + K^2 x = h \sin(\omega t + \delta), \quad K^2 = \frac{c}{m + m_1 / 2}, \quad h = \frac{m}{m + m_1 / 2} s_0 \omega^2;$$

$$\ddot{s} + K^2 s = h \sin(\omega t + \delta), \quad K^2 = \frac{c}{m + M}, \quad h = \frac{m}{m + M} x_0 \omega^2;$$

$$\ddot{s} + K^2 s = h \cos(\omega t + \delta), \quad K^2 = \frac{c}{M + m}, \quad h = \frac{m}{M + m} l \omega^2. \quad (4).$$



а



б

Рис. 2. Фрагменты записи свободных и вынужденных (при $\omega < K$) колебаний системы

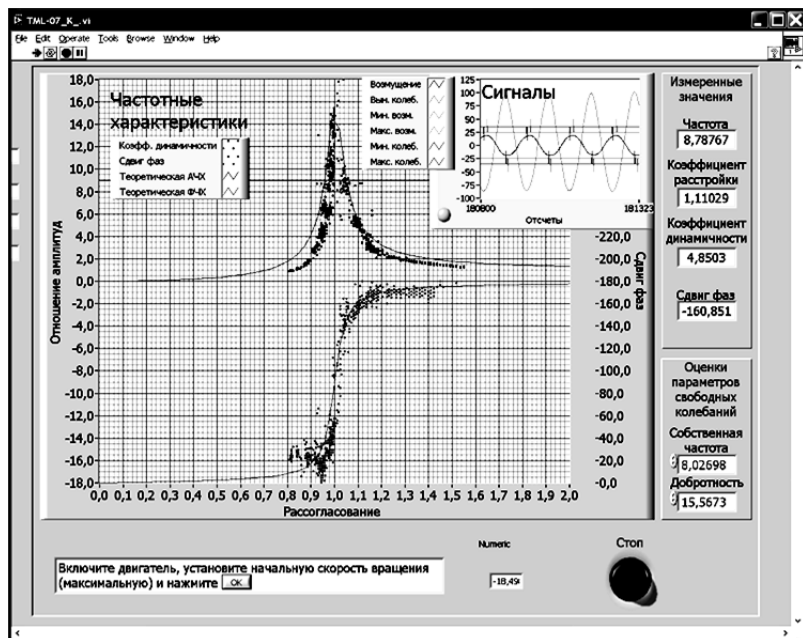


Рис. 3. АЧХ и ФЧХ на экране виртуального прибора

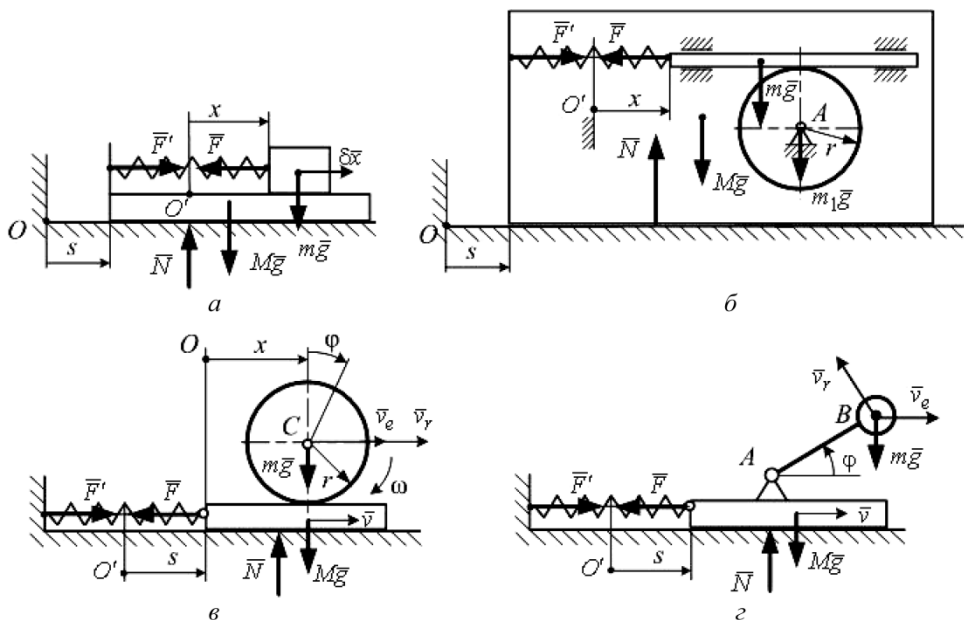


Рис. 4. Типовые схемы реальных механических объектов, заданы:
 $s = s_0 \sin(\omega t + \delta)$ (а); $s = s_0 \sin(\omega t + \delta)$ (б); $x = x_0 \sin(\omega t + \delta)$ (в);
 $\varphi = \omega t, \omega = \text{const}$ (з)

В силу того, что дифференциальные уравнения (4) аналогичны уравнению (2), созданная установка позволяет получать АЧХ и ФЧХ для реальных установок (натурных объектов) при одинаковых значениях добротности модели и натурального объекта $Q_M = Q_H$.

Рассмотрим вариант рис. 4, а. В этом случае коэффициент λ определяется формулой

$$\lambda = \frac{Z^2}{\sqrt{(1-Z^2)^2 + Z^2/Q^2}}$$

где все величины безразмерные, т. е. уже являются инвариантами при моделировании.

При $Z = \frac{\omega}{K} = \text{inv} = I_1$, $Q = \frac{K}{2n} = \text{inv} = I_2$ коэффициент динамичности

$$\lambda = \text{inv} = I. \quad (5)$$

Это означает, что при выполнении условий для инвариантов I_1, I_2 (коэффициентов подобия) можно получить для любых экспериментов $\lambda_H = \lambda_M$, т. е. предсказать вид зависимости $\lambda(Z, Q)$ для натурального объекта. Выполняя условия (5), получаем

$$I_1 = \left(\frac{\omega}{K} \right)_H = \left(\frac{\omega}{K} \right)_M \text{ и } I_2 = \left(\frac{K}{n} \right)_H = \left(\frac{K}{n} \right)_M, \quad (6)$$

откуда следует, что необходимо выполнить условия $\frac{\omega_H}{\omega_M} = \frac{K_H}{K_M} = m_K$ и

$\frac{n_H}{n_M} = \frac{K_H}{K_M} = m_K$ (m_K — масштабный коэффициент). Тогда $Z_H = Z_M$, $Q_H = Q_M$, $\lambda_H = \lambda_M$ и кривые $\lambda(Z, Q)$ для натурального объекта и модели совпадают.

В случае вынужденных колебаний инерционного типа массовый коэффициент в зависимостях $\lambda = \lambda(Z, Q)$ не всегда равен единице, поэтому для него также нужно ввести коэффициент подобия I_3 , например, как в данной экспериментальной установке (см. (3)):

$$I_3 = \left(m + \frac{m_1 l_1}{2 l} \right) / (M + m + m_1)$$

На рис. 5 представлены АЧХ и ФЧХ лабораторной установки и пример моделирования колебаний натурального объекта при $m_k = 1, 2$. Безразмерные зависимости $\varepsilon = \varepsilon(Z, Q)$ и $\lambda = \lambda(Z, Q)$ модели и натурального объекта в силу равенства $Q_M = Q_H$ при моделировании совпадают (рис. 5, кривые 1 и 2), при этом $\omega_H = \omega_M m_k$.

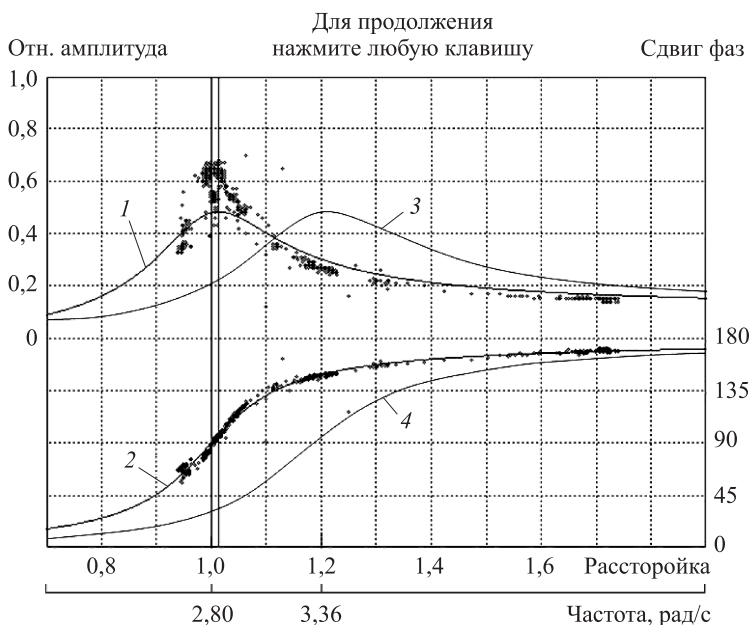


Рис. 5. Построение кривой моделирования

На этом же рисунке построены зависимости $\lambda_H = \lambda_H(\omega)$ и $\varepsilon = \varepsilon(Z, Q)$ для натурального объекта (кривые 3, 4), причем в этом случае по оси абсцисс отложены значения ω в рад/с (нижняя ось абсцисс на рисунке). Кривые 3 и 4 смещены вправо по отношению к кривым 1, 2 и при резонансе $\lambda_H = \lambda_M$, но $\omega_M = K_M \approx 2,8$ рад/с, а $\omega_H = \omega_M \cdot m_k = 2,8 \cdot 1,2 = 3,36$ рад/с.

Таким образом, показано, что в различных промышленных устройствах процессы колебаний при их инерционном возбуждении описываются дифференциальными уравнениями, аналогичными дифференциальным уравнениям движения разработанной экспериментальной установки (модели), что позволяет применять ее для математического и физического моделирования процессов колебаний реальных промышленных объектов.

ЛИТЕРАТУРА

- [1] Дубинин В.В., Жигулевцев Ю.Н., Назаренко Б.П., Ремизов А.В. О внедрении новых информационных технологий в учебный процесс по курсу

«Теоретическая механика». *Научно-методическая конференция, посвященная 35-летию образования факультета «Фундаментальные науки» МГТУ им. Н.Э. Баумана*, 20 декабря 1999 г. Москва, Изд-во МГТУ им. Н.Э. Баумана, 1999, с. 65–66.

- [2] Дубинин В.В., Витушкин В.В., Назаренко Б.П. Современный лабораторный комплекс по теоретической механике. Интеграция образования, науки и производства. *Материалы секционного заседания Международной конференции IX Международного форума «Высокие технологии XXI века»*, 23 апреля 2008 г. Москва, МГТУ им. Н.Э. Баумана, 2008, с. 153–156.

Статья поступила в редакцию 05.02.2014

Ссылку на эту статью просим оформлять следующим образом:

Дубинин В.В., Витушкин В.В. Исследование вынужденных колебаний с возмущением инерционного типа. *Инженерный журнал: наука и инновации*, 2014, вып. 1. URL: <http://engjournal.ru/catalog/eng/teormech/1178.html>

Дубинин Владимир Валентинович родился в 1937 г., окончил МВТУ им. Н.Э. Баумана в 1961 г. Канд. техн. наук, доцент кафедры «Теоретическая механика» МГТУ им. Н.Э. Баумана. Автор более 250 научных работ в области теоретической и прикладной механики. e-mail: fn3@bmstu.ru

Витушкин Вячеслав Валентинович родился в 1942 г., окончил МВТУ им. Н.Э. Баумана в 1968 г. Канд. техн. наук, доцент кафедры «Теоретическая механика» МГТУ им. Н.Э. Баумана. Автор более 100 научных работ в области прикладной аэрогазодинамики и теоретической механики. e-mail: sovettm@bmstu.ru